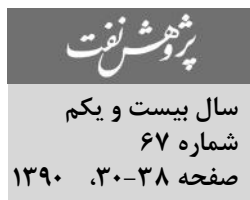


# پوشش پلی اتیلن با خاصیت مقاومت در برابر جدایش کاتدی بهبود یافته از طریق اصلاح شیمیایی سطح توسط ترکیبات سیلان‌های آلی

تاریخ دریافت: ۸۹/۳/۱۳ | تاریخ پذیرش: ۸۹/۱۱/۲



جواد حیدریان\*, احمد بابانعلبندی و همایون حسین خانلی  
پژوهشگاه صنعت نفت، پژوهشکده علوم و تکنولوژی پلیمر  
Heidarianj@ripi.ir

## مقدمه

یکی از مشکلات شناخته شده پوشش‌های پلی اولفینی تک لایه چسبندگی کم پوشش به سطح فلز می‌باشد. لذا برای بهبود چسبندگی و محافظت از خوردگی، معمولاً از یک لایه رزین اپوکسی در زیر پوشش پلی اولفین استفاده می‌نمایند. گرچه چسبندگی اپوکسی به سطح فلز خوب است، لیکن چسبندگی آن به پلی اولفین بسیار ضعیف می‌باشد. عموماً برای رفع این مشکل از یک لایه چسب برپایه پلی اتیلن مالئینه بین لایه اپوکسی و پلی اولفین بیرونی استفاده می‌شود [۱ و ۲].

در بررسی‌هایی که طی چند سال گذشته درخصوص پوشش‌های پلی اتیلن سه لایه در کشور ما انجام گرفته، مشخص گردیده که این پوشش‌ها در بعضی نواحی دچار مشکل جدایش می‌شوند. بدین صورت که سامانه پوشش از سطح فلز جدا شده و به شکل غلاف دور لوله باقی می‌ماند. این معضل به هر علتی که روی داده باشد، به نظر می‌آید لایه اپوکسی، در آن نقش دارد. اگر هنگام اعمال لایه اپوکسی دمای سطح لوله مناسب باشد به طوری که پودر FBE<sup>1</sup> بتواند قبل از انجام ژلاسیون در

## چکیده

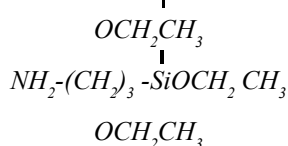
پوشش‌های پلی اتیلن دولایه متشکل از زیرلایه پلی اتیلن مالئینه و روکش HDPE سالهای است که مورد استفاده قرار می‌گیرند. در تحقیق حاضر بهمنظور افزایش دوام و چسبندگی لایه پلی اتیلن مالئینه به فلز، از اصلاح شیمیایی سطح بهوسیله نوعی ترکیبات آلی سیلان استفاده شده است. انتظار می‌رود با انجام عملیات اصلاح شیمیایی سطح طی فرآیند اعمال پوشش پلی اتیلن مالئینه، محصولات پوششی با خواصی معادل پوشش‌های پلی اتیلن سه لایه (اپوکسی/چسب/پلی اتیلن)، تولید نمود. بدین منظور، چسبندگی لایه پلی اتیلن مالئینه به فلز پس از اصلاح شیمیایی سطح در شرایط متفاوت، اندازه‌گیری شد. همچنین آزمون جدایش کاتدی بر روی تعدادی از نمونه‌های پوشش‌دار که سطح فلز آن قبلًا تحت اصلاح شیمیایی قرار گرفته بود، اجرا گردید. در انتها نتایج آزمون‌های چسبندگی و جدایش کاتدی نمونه‌های پوشش پلی اتیلن مالئینه بدون عملیات اصلاح شیمیایی با نمونه‌هایی که اصلاح شیمیائی سطح را طی کرده بودند، مقایسه گردید.

واژه‌های کلیدی: پوشش پلی اتیلن، اصلاح شیمیایی سطح، جدایش کاتدی، ترکیبات آلی سیلان، فولاد

1. Fusion Bonded

گروههای قابل هیدرولیز است که موجب تولید گروههای سیلانول SiOH می‌گردد. گروههای سیلانول با گروههای هیدرولکسیل موجود در سطح فلز، تشکیل پیوند می‌دهند و ایجاد شبکه Si-O-Si می‌نمایند. این شبکه به صورت یک فیلم سیلان کاملاً یکنواخت، سطح را احاطه می‌کند.

آمینو سیلانی که برای این نوع اصلاح شیمیایی سطح ترجیح داده می‌شود، گاما-آمینو پروپیل تری اتوکسی سیلان (γ-APS) است که دارای ساختار شیمیایی زیر می‌باشد:



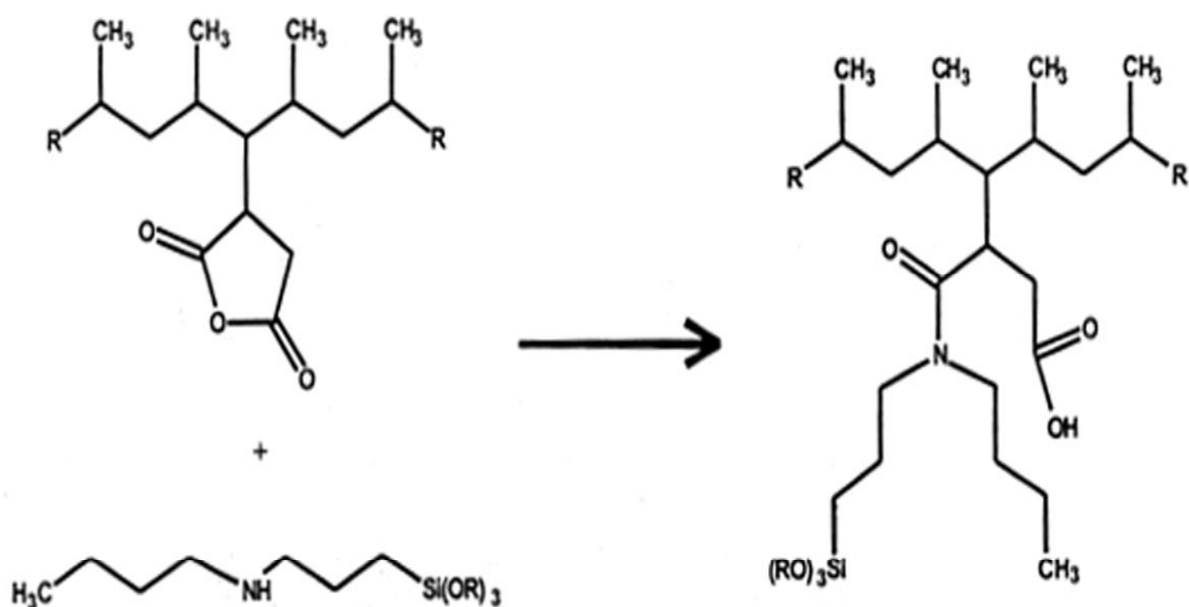
آمینو سیلان‌ها می‌توانند با گروههای اسیدی مربوط به آنیدرید مالئیک موجود در پلی اتیلن گرفت شده (Ma-g-PE)، واکنش داده و باعث اتصال سطح فلز به پلیمر شوند [۵]. این واکنش، مناسب‌ترین راهکار برای اتصال فلز به پلیمر می‌باشد. شکل ۱ چگونگی انجام واکنش گروههای اسیدی در آنیدرید مالئیک گرفت شده به پلی اتیلن با آمینو سیلان را نشان می‌دهد.

سرتاسر لوله به خوبی ذوب شده و سطح لوله را به طور یکنواخت تر نماید، در این صورت تجربه نشان می‌دهد که چسبندگی آن به سطح لوله بسیار خوب خواهد بود. لیکن گاهی به دلیل نامناسب بودن دمای لوله، شرایطی پیش می‌آید که پوشش، کیفیت و کارایی مناسب خود را از دست می‌دهد. در این حالت پرایمر FBE باعث ضعف چسبندگی سیستم پوشش سه لایه می‌گردد [۱ و ۲].

بنابراین چنانچه بتوان اصلاح سازی دیگری به جای اعمال رزین اپوکسی روی سطح انجام داد، انتظار می‌رود که مشکل جدایش برطرف گردد [۱، ۳ و ۴].

با این هدف در این پژوهه تلاش شده تا اصلاح شیمیایی سطح با ترکیبات آلی سیلان جایگزین لایه اپوکسی گردد. اصلاح سطح با ترکیبات آلی سیلان، مقاومت خوردگی فلز را افزایش می‌دهد، به گونه‌ای که دیگر نیازی به استفاده از کرومات‌های سمی و سرطان‌زا نمی‌باشد [۱، ۳ و ۴].

این لایه که در ضخامت‌های کمتر از ۱۰ میکرون اعمال می‌شود، خواص مقاومتی سیستم پوشش به جدایش را بهبود بخشدیده و همچنین مانع برای عبور جریان حفاظت کاتدی ایجاد نماید. به عبارت دیگر خاصیت



شکل ۱- واکنش آمینو سیلان با گروههای اسیدی آنیدرید مالئیک موجود در پلی اتیلن گرفت شده [۵]

پوشش پودری اپوکسی - پلی استر در  $180^{\circ}\text{C}$  پخت شده‌اند، در برابر جدایش کاتدی کارایی بسیار بهتری داشته‌اند. همچنین مکانیزم جدایش پوشش اپوکسی / پلی آمید از فولاد در حین جدایش کاتدی مورد بررسی قرار گرفته است [۱۴]. در صورت اعمال سیلان بر روی زیرآیند فلزی و پخت آن در دمای بالاپیش از اعمال پوشش اپوکسی / پلی آمید، کاهش قابل ملاحظه‌ای در سرعت جدایش کاتدی مشاهده گردید. کارایی و مقاومت به جدایش کاتدی پوشش سه لایه (3LPEor3Layer polyethylene: epoxy/adhesive/polyethylene) بر روی لوله‌های فلزی حمل نفت، گاز، آب و ... با و بدون اعمال محلول سیلان بر روی لوله مورد بررسی قرار گرفته است [۱۵]. نتایج نشان می‌دهد که شعاع جدایش کاتدی نمونه‌های اصلاح شده با سیلان، نصف مقدار نمونه‌های بدون سیلان می‌باشد.

در تحقیق حاضر، اثر اصلاح شیمیایی سطح فلز با محلول آمینو سیلان بر چسبندگی و مقاومت در برابر جدایش کاتدی پوشش‌های پلی اتیلن اصلاح شده با اندیزید مالیک (Ma-g-PE) مورد بررسی قرار گرفته است.

## مواد و روش‌ها

مواد: از گاما-آمینو پروپیل تری اتوکسی سیلان<sup>۱</sup> به اختصار  $\gamma\text{-APS}$  تولید شرکت EVONIK (دگوسرای سابق) با نام تجاری Dynasylan AMEO در این تحقیق استفاده شد. پلی اتیلن گرافت شده با اندیزید مالیک<sup>۲</sup> به اختصار Ma-g-PE ساخت شرکت بورالیز<sup>۳</sup> با نام تجاری ME0470 به عنوان پوشش استفاده گردید. قطعاتی از ورق‌های فولاد کربنی به ابعاد  $15\text{ cm} \times 15\text{ cm}$  به عنوان زیر آیند در این تحقیق استفاده شد. سایر مواد شیمیایی از شرکت آلدريچ تهیه گردید.

## روش‌ها

### تهیه محلول $\gamma\text{-APS}$

پنج قسمت حجمی از  $\gamma\text{-APS}$  را به ۱۰ قسمت حجمی متانول افزوده و به مخلوط فوق تا رسیدن به ۱۰۰ قسمت

1.  $\gamma\text{-Aminopropyltriethoxy Silane}$

2. maleic Anhydride Grafted Polyethylene

3. Borealis

در پژوهشی که در سال ۲۰۰۵ توسط Harun و همکاران انجام شد، اثر اصلاح شیمیایی سطح فولاد کربنی با مخلوط سیلان‌های ۳-گلاسیدوکسی پروپیل تری اتوکسی سیلان (GPS-۳) و  $\gamma\text{-APS}$  بر خواص چسبندگی خشک و تر و نیز سرعت جدایش کاتدی پوشش‌های اپوکسی و آلکید مورد بررسی قرار گرفت [۶]. نتایج این تحقیق نشان می‌دهد که چسبندگی خشک و تر پوشش‌های اپوکسی و آلکید به ترتیب توسط ۳-GPS و  $\gamma\text{-APS}$  بهبود پیدا می‌کند. ضمناً ۳-GPS سرعت جدایش کاتدی پوشش اپوکسی را ۳ برابر کاهش می‌دهد. در پوشش آلکید،  $\gamma\text{-APS}$  در سرعت جدایش کاتدی ایجاد نمی‌نماید. به این دلیل که پوشش آلکید در اثر قلیای تشکیل شده تخریب شده و عملاً کارایی خود را از دست می‌دهد.

در کارهای تحقیقاتی دیگر، کارایی و کیفیت پوشش‌های پلی اتیلن اصلاح شده با اندیزید مالیک (Ma-g-PE) از منظر نتایج آزمون جدایش کاتدی مورد بررسی و ارزیابی واقع شده است [۱۰-۷]. این بررسی‌ها نشان می‌دهد حضور مقادیر کمی ( $2/5\text{ wt\%}$ ) از ترکیباتی همچون پلی اتیلن مالیئنه، EPDM، بعضی افزودنی‌های پلیمری به صورت آلیاژ و نیز پرکن‌ها، استحکام چسبندگی مرطوب و کارایی در مقابل جدایش کاتدی در پلی اتیلن را بهبود می‌بخشد. اثر اصلاح شیمیایی و ایجاد اتصال بین سیلان نوع  $\gamma\text{-APS}$  با فلز بر جدایش لوله‌های فولادی که با پلی اتیلن پوشیده شده بودند، مورد مطالعه قرار گرفت. این تحقیقات نشان داد که برای بالا بردن مقاومت به جدایش کاتدی، لازم است از یک غلطت بهینه  $\gamma\text{-APS}$  برای اصلاح شیمیایی سطح استفاده گردد [۱۱]. اصلاح شیمیایی سطح با  $\gamma\text{-APS}$  برای پوشش‌هایی که در ساختارشان گروه‌های اپوکسی حضور دارند، باعث بهبود خواص جدایش کاتدی شده است [۱۲]. در یک کار پژوهشی، ورقه‌های آهن اصلاح شیمیایی شده و خواص محافظت خوردگی پوشش‌های زیر بر روی آنان مورد بررسی قرار گرفتند [۱۳]. این ورقه‌ها متعاقب اصلاح شیمیایی با پوشش‌های پودری اپوکسی-پلی اتر پوشش داده شده و سپس آزمون جدایش کاتدی بر روی آنان اجرا گردید. نتایج به دست آمده نشان داد که نمونه‌هایی که قبل از اعمال

DIN 30670 آزمون مطابق روش Roell Zwick آلمان مدل DAC-37 و دستگاه پرس شرکت Matsuda ژاپن نوع ZO30 استفاده شد.

**تهیه نمونه و نحوه انجام آزمون جدایش کاتدی**  
روش تهیه نمونه برای این آزمون دقیقاً مشابه روش تهیه نمونه برای آزمون چسبندگی می‌باشد. با این تفاوت که قالب لازم برای این تست، دارای حفره‌ای به ابعاد  $15\text{ cm} \times 15\text{ cm} \times 6\text{ mm}$  است (شکل ۲ ب). ابعاد ورق فولاد کربنی که به عنوان زیرآیند استفاده شده  $15\text{ cm} \times 15\text{ cm} \times 3\text{ mm}$  و ابعاد ورق پلی اتیلن مالئینه  $15\text{ cm} \times 15\text{ cm} \times 6\text{ mm}$  بودند.

آزمون جدایش کاتدی مطابق استاندارد G8 به مدت ۲۸ روز انجام گرفت که محلول الکتروولیت آن شامل ۱٪ جرمی از هر کدام از نمک‌های (بدون آب) کلرید سدیم، سولفات سدیم و کربنات سدیم بوده و از پتانسیل اعمالی  $V = 1/45 - 1/55$  تا  $-1/55$  نسبت به الکترود کالومل اشباع در طول مدت آزمایش استفاده شده است. از ولت متر شرکت Philips جهت تعیین ولتاژ آزمون جدایش کاتدی استفاده شد. در آزمون فوق از یک حفره به قطر  $9\text{ mm}$  برای نمونه و یک حفره به قطر  $6\text{ mm}$  برای شاهد استفاده گردید.

### نتایج و بحث

جدول ۲ نتایج آزمون چسبندگی پوشش پلی اتیلن گرفت شده با انیدرید مالئیک (Ma-g-PE) به فولاد کربنی که با محلول ۵٪-۷٪APS اصلاح شیمیایی شده را نشان می‌دهد. در این جدول نمونه ۲ تکرار ۱ بوده و نمونه ۳ شاهد (بدون اصلاح شیمیایی با محلول سیلان) می‌باشد.

جدول ۲- نتایج چسبندگی Ma-g-PE به فولاد بعد از به کارگیری محلول ۵٪-۷٪APS

نمونه	استحکام چسبندگی (kg/cm)
۱	۲۲/۳-۲۵/۸۹
۲	۳۰/۰۱-۳۱/۳۶
شاهد	۲۳/۳

همان گونه که مشاهده می‌شود، چسبندگی Ma-g-PE به فولاد کربنی که با محلول ۷٪-۷٪APS اصلاح شده از حد استاندارد اعلام گردیده توسط شرکت ملی گاز ( $8\text{ kg/cm}^2$ ) برای

حجمی آب اضافه نمودیم. این مخلوط به مدت ۳ ساعت توسط همزن مغناطیسی قبل از مصرف به هم زده شد. این محلول در دمای محیط با سرعت هم زدن  $200\text{ rpm}$  و با آب مقطر تهیه گردید. pH محلول نیاز به تنظیم ندارد و همان pH طبیعی محلول که معمولاً قلیایی است، می‌باشد.

### تهیه ورق پلی اتیلن مالئینه

به کمک فرایند قالب‌گیری با پرس گرم، ورق‌هایی از پلی اتیلن مالئینه (Ma-g-PE) (به ابعاد  $15\text{ cm} \times 15\text{ cm} \times 6\text{ mm}$  و  $25\text{ cm} \times 25\text{ cm} \times 6\text{ mm}$  با شرایط قالب‌گیری ارائه شده در جدول ۱، تهیه گردید.

جدول ۱- شرایط قالب‌گیری ورق Ma-g-PE با کمک پرس گرم

۱۹۰ °C	دما
۵ min	زمان پیش گرم
۳ min	زمان تحت فشار
۱۵۰ bar	فشار پرس
۳ min	زمان سرد کردن

قبل از پوشش دهی صفحات فولاد کربنی با ورق‌های Ma-g-PE، سطح این ورق‌ها با آب مقطر و پارچه نرم شستشو داده شده و پس از خشک شدن توسط سنباده بسیار نرم (شماره ۱۰۰۰) کاملاً تمیز گردید.

### تهیه نمونه و نحوه انجام آزمون چسبندگی

سندبلاست با درجه SA 1/2 بر روی ورق‌های فولاد کربن انجام شد. برای اعمال پرایمر و رسیدن به ضخامت تقریبی ۱۰ میکرون از چندین مرحله اسپری محلول سیلان که در بین مراحل آن فرآیند خشک کردن در محیط مجموعاً به مدت  $210\text{ min}$  در  $80^\circ\text{C}$  (۴۰min انجام می‌شده، استفاده گردید. برای تهیه نمونه‌های آزمون چسبندگی از روش قالب‌گیری فشاری به طریق زیر استفاده گردید: قالب مورد استفاده دارای حفره‌ای به ابعاد  $12/5\text{ cm} \times 2/5\text{ cm} \times 6\text{ mm}$  می‌باشد (شکل ۲ الف). فک پایین پرس تا  $250^\circ\text{C}$  گرم می‌شود. فک بالا سرد بوده و فشار برابر  $0.2\text{ bar}$  تنظیم می‌گردد. قبل از قالب‌گیری، ورق فلزی اصلاح شده با سیلان در قالب به مدت ۳ دقیقه پیش گرم شده و سپس با گذاردن ورق Ma-g-PE روی آن قالب‌گیری انجام گردید. زمان قالب‌گیری با پرس ۵ دقیقه

جدول ۳ نتایج آزمون جدایش کاتدی پوشش Ma-g-PE γ-APS که سطح زیر آیند فولاد کربنی آن با محلول ۰.۵٪ γ-APS اصلاح شیمیایی شده را به همراه نمونه شاهد که سطح زیر آیند آن با محلول سیلان تماسی نداشته، نشان می‌دهد. این نتایج به روشنی تاثیرات مثبت استفاده از محلول سیلان ۰.۵٪ γ-APS در افزایش مقاومت پوشش به جدایش کاتدی را آشکار می‌نماید.

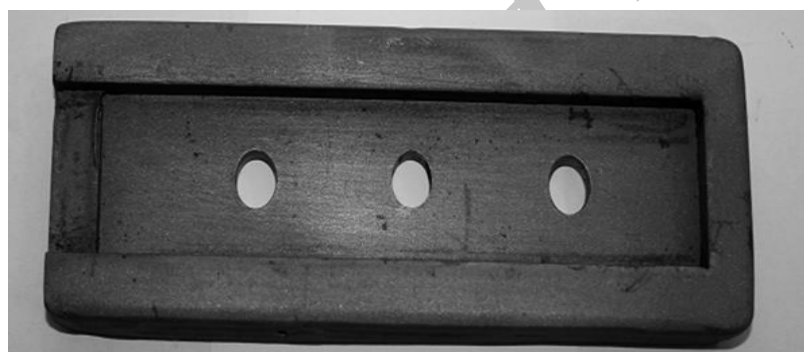
جدول ۳- نتایج تست جدایش کاتدی پوشش Ma-g-PE به فولاد γ-APS با و بدون استفاده از محلول ۰.۵٪

نمونه	شعاع جدایش (mm)
γ-APS	۱
شاهد ۱	۲۸/۳۳
شاهد ۲	۳۴/۵۳

پوشش پلی اتیلن ۳ لایه) بیشتر می‌باشد. شکل ۳ نمونه پوشش فوق را قبل از آزمون چسبندگی (شکل الف)، در حین انجام آزمون چسبندگی (شکل ب) و بعد از انجام آزمون چسبندگی (شکل ج) نشان می‌دهد.

همان طور که در بخش مقدمه اشاره شد، چسبندگی ترکیبات آلی سیلان به Ma-g-PE و فولاد کربنی از نوع شیمیایی بوده و همین مسئله، دلیل بالا بودن میزان چسبندگی این نوع پوشش می‌باشد.

از یک سو گروههای هیدروکسیل موجود در ترکیبات آلی سیلان با گروههای هیدروکسیل و کربوکسیل سطح فلز واکنش داده و از سوی دیگر، گروههای آمینی در ساختار γ-APS با بعضی گروههای سطح Ma-g-PE اتصال شیمیایی ایجاد می‌کنند.



(الف)



(ب)

شکل ۲- قالب تست‌های (الف) چسبندگی و (ب) جدایش کاتدی



شکل ۳- نمونه پوشش Ma-g-PE به فولاد عمل آوری شده با محلول ۵٪-APS چسبندگی: (الف) قبل از آزمون چسبندگی، (ب) در حین انجام آزمون چسبندگی و (ج) بعد از انجام آزمون چسبندگی

در شکل ۶ رسم شده است. نتایج آزمون جدایش کاتدی نشان می‌دهد که پیوند ترکیبات آلی سیلان به فولاد کربنی (Si-O-Metal) و نیز پیوند میان Ma-g-PE به سیلان (اتصال آمیدی) در مقابل قلیای تولید شده ناشی از جریان حفاظت کاتدی مقاوم می‌باشد. نتایج بالا می‌وید این است که کاهش جدایش پوشش می‌تواند به دلیل کم شدن نفوذ محلول الکترولیت موجود در سل آزمون جدایش کاتدی به فصل مشترک فولاد کربنی و ترکیبات آلی سیلان و یا به دلیل مقاومت لایه سیلانی به قلیا باشد. بنابراین، ایجاد پیوند شیمیایی سیلان به فولاد

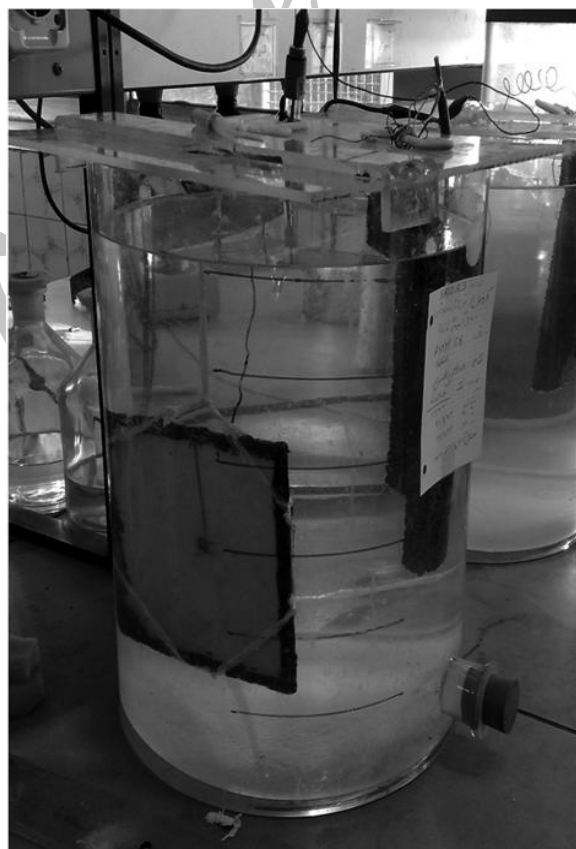
شعاع جدایش بسیار کم نمونه‌های اصلاح شده با محلول سیلان که مقادیر آن از مقدار استاندارد تعیین شده توسط شرکت ملی گاز (۱۶۵ mm) هم کمتر است، به وضوح نقش مهم سیلان در بهبود کیفیت حفاظت در برابر جدایش کاتدی پوشش‌های Ma-g-PE را اثبات می‌کند. شکل ۴ آزمون جدایش کاتدی در حین انجام برای نمونه پوشش ۵٪-APS به فولاد (شاهد و با کاربرد محلول ۵٪-APS) به فولاد با کاربرد با کاربرد را نشان می‌دهد. نمونه پوشش Ma-g-PE به فولاد با کاربرد محلول ۵٪-APS پس از انجام آزمون جدایش کاتدی در شکل ۵ و نمونه شاهد پس از انجام آزمون جدایش کاتدی

سطح فلز و سیلان، تراکم مواد پوشش را بالا برده و میزان نفوذ الکتروولیت را کاهش می‌دهد. سیستم پوششی این مقاله از نظر چسبندگی و مقاومت به جدایش کاتدی از پوشش‌های سه لایه‌ای که حداقل کیفیت را برای پذیرش در صنعت دارند، بهتر عمل می‌کند. بنابراین انتظار می‌رود رقیب بالقوه‌ای برای سیستم پوشش مذکور باشد.

کربنی که ارتقاء میزان چسبندگی پوشش به سطح را به دنبال دارد [۱، ۵ و ۱۲] همراه با مقاومت شیمیایی ایجاد شده در مقابل قلیا ناشی از پیوندهای تشکیل شده روی سطح و نیز کاهش نفوذ محلول الکتروولیت به فصل مشترک فلز سیلان [۱۱، ۱۲ و ۱۴] منجر به افزایش مقاومت در مقابل جدایش کاتدی می‌شود. ضمناً ایجاد اتصال شیمیایی بین لایه چسب و سیلان به همراه پیوندهای ایجاد شده بین



(الف)

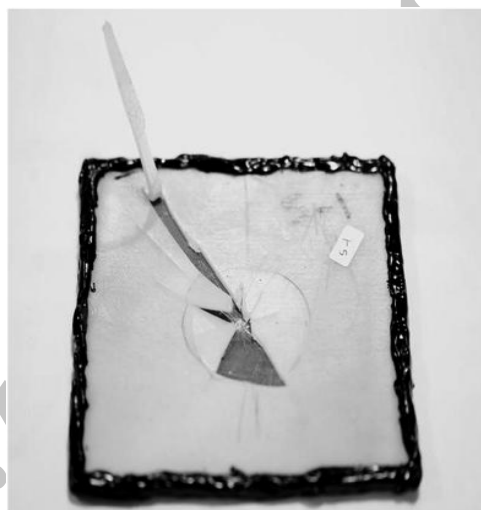


(ب)

شکل ۴- آزمون جدایش کاتدی در حال انجام برای نمونه پوشش Ma-g-PE به فولاد (الف) شاهد و (ب) با محلول ۵٪-۷٪ APS



شکل ۵- نمونه پوشش Ma-g-PE به فولاد عمل آوری شده با محلول ۵٪، APS-۷ پس از پایان آزمون جدایش کاتدی



شکل ۶- نمونه شاهد پس از انجام آزمون جدایش کاتدی

با توجه به اینکه دو خاصیت چسبندگی و مقاومت به جدایش کاتدی از خواص مهم پوشش‌های محافظ خوردگی می‌باشند که در این تحقیق بهبود یافته‌اند، انتظار می‌رود در آینده نزدیک مصرف سیستم پوشش پلی اتیلن مالئینه همراه با زیرآیند اصلاح شده با محلول سیلان، در صنعت مورد پذیرش قرار گیرد.

#### نتیجه‌گیری

در پوشش تک لایه Ma-g-PE، سطح زیرآیند را می‌توان به راحتی با محلول سیلان سازگار با محیط APS-۷ اصلاح شیمیایی نمود و خواص چسبندگی و جدایش کاتدی آن را نسبت به سیستم‌های پوشش متداول کنونی (اپوکسی، PE و پلی اتیلن) با حداقل کیفیت برای پذیرش در صنعت، بهبود بخشناد.

## منابع

- [1] Leiden L., Purmonen J., Leiden A. & Alastal K., *Coated pipe comprising polyolefin layer with enhanced adhesion*, EP patent: 1859926A1, 2007.
- [2] Argent C., & Norman D., "Three layer polyolefin coatings: fulfilling their potential?", Corrosion March 12-16, 2006, <http://www.davidnormancorrosioncontrol.com/html/papers/PDF/DavidNormanNACE2006.pdf>, Available online October 2010.
- [3] Guoli L., Xueming W., Aiju L., Weiqiang W. & Liqiang Z., "Fabrication and adhesive properties of thin organosilane films coated on low carbon steel substrates", Surface & Coatings Technol., Vol. 201, pp. 9571-9578, 2007.
- [4] Ooji V., "On characterization and performance of silane coupling between organic coatings and metallic or ceramic substrates", American Institute of Physics, pp. 305-321, 1996.
- 5- Borup B. & Loannidis A., *Polypropylene maleic acid anhydride, and silanes: The winning combination*, Dynasylane literatures, Evonik Industries Co., [www.Dynasylane.com/page/en/literature/pageNumber/5-49k](http://www.Dynasylane.com/page/en/literature/pageNumber/5-49k), 30.6. 2010.
- [6] Harun M.K., Marsh J. & Lyon S.B., "The effect of surface modification on the cathodic disbondment rate of epoxy and alkyd coatings", Prog. Org. Coatings, Vol. 54, pp. 317-321, 2005.
- [7] Roy D., Simon G.P., Forsyth M. & Mardel J., "Modification of thermoplastic coatings for improved cathodic disbondment performance on a steel substrate: a study on failure mechanisms", Inter. J. of Adhesion & Adhesives, Vol. 22, pp. 395-403, 2002.
- [8] Roy D., Simon G. P. & Forsyth M., "Improved cathodic disbondment performance of polyethylene blends", Polym. Eng. and Sci., Vol. 42, No. 4, pp. 781-788, 2002.
- [9] Roy D., Simon G. P. & Forsyth M., "Blends of maleic-anhydride-grafted polyethylene with polyethylene for improved cathodic disbondment performance", Polym. Inter., Vol. 50, pp. 1115-1123, 2001.
- [10] Roy D., Simon G. P., Forsyth M. & Mardel J., "Toward a better understanding of the cathodic disbondment performance of polyethylene coatings on steel", Advances in Polym. Technol., Vol. 21, No. 1, pp. 44-58, 2002.
- [11] Matsugu M.O. & Chiaki K., "The effect of silane coupling agent treatment on the cathodic delamination of polyethylene-coated steel pipe", J. of the Japan Soci. of Colour Material. Vol. 74, No. 5, pp. 217-222, 2001.
- [12] Love C.T., Xian G. & Karbahari V.M., "Cathodic disbondment resistance with reactive ethylene terpolymer blend", Prog. in Org. Coatings, Vol. 60, pp. 287-296, 2007.
- [13] Fedel M., Olivier M., Poelman M., Deflorian F., Rossi S. & Druart M.E., "Corrosion protection properties of silane pre-treated powder coated galvanized steel", Prog. in Org. Coatings, Vol. 66, pp. 118-128, 2009.
- [14] Horner M.R. & Boerio F.J., "Cathodic delamination of an epoxy/polyamide coating from steel", J. Adhesioin., Vol. 32, 141-156, 1990.
- [15] Gaillard G. & Bouliez J.L., "Method for applying an anti-corrosion coating on parts of a duct including the use of a silane aqueous solution and an epoxy powdery paint", U.S. Patent App. Pub.: 20100055327 A1, 2010.
- [16] National Iranian Gas Company, <http://igs.nigc.ir/igs/>, Available online October 2010.